

Samičí gametofyt

Gynaeceum

Typy placentace, stavba vajíčka

Megasporogeneze (vývoj megaspor)

Megagametogeneze (vývoj zárodečného vaku)



INVESTICE DO ROZVOJE Vzdělávání

Tato prezentace je spolufinancována
Evropským sociálním fondem
a státním rozpočtem České republiky

Vývoj pestíku

Pestík krytosemenných rostlin - *gynoecium*

- tvořen souborem plodolistů
- zaujímá vnitřní pozici ve spirálovém nebo kruhovém uspořádání květu
- začátek vývoje plodolistů: specifická primordia ve střední části květního meristému

Základní typy gyneceí a placentace

(Tachtadžan 1945)

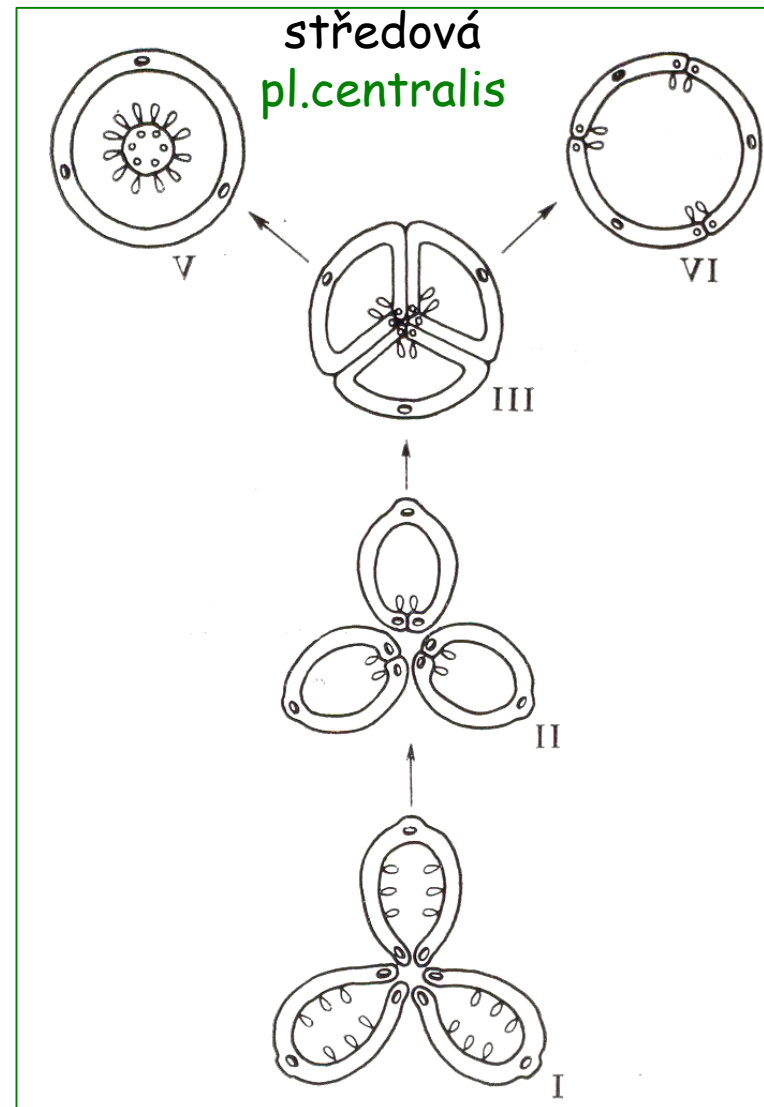
Gynaeceum

V lysikarpní
hvozdík, primula

IV parakarpní

III synkarpní
tulipán, lilie

I, II apokarpní
pivoňka, pryskyřník
magnolie



Placentace

nástěnná
pl. parietalis

komisurální úhlová
pl. commisuralis axilaris

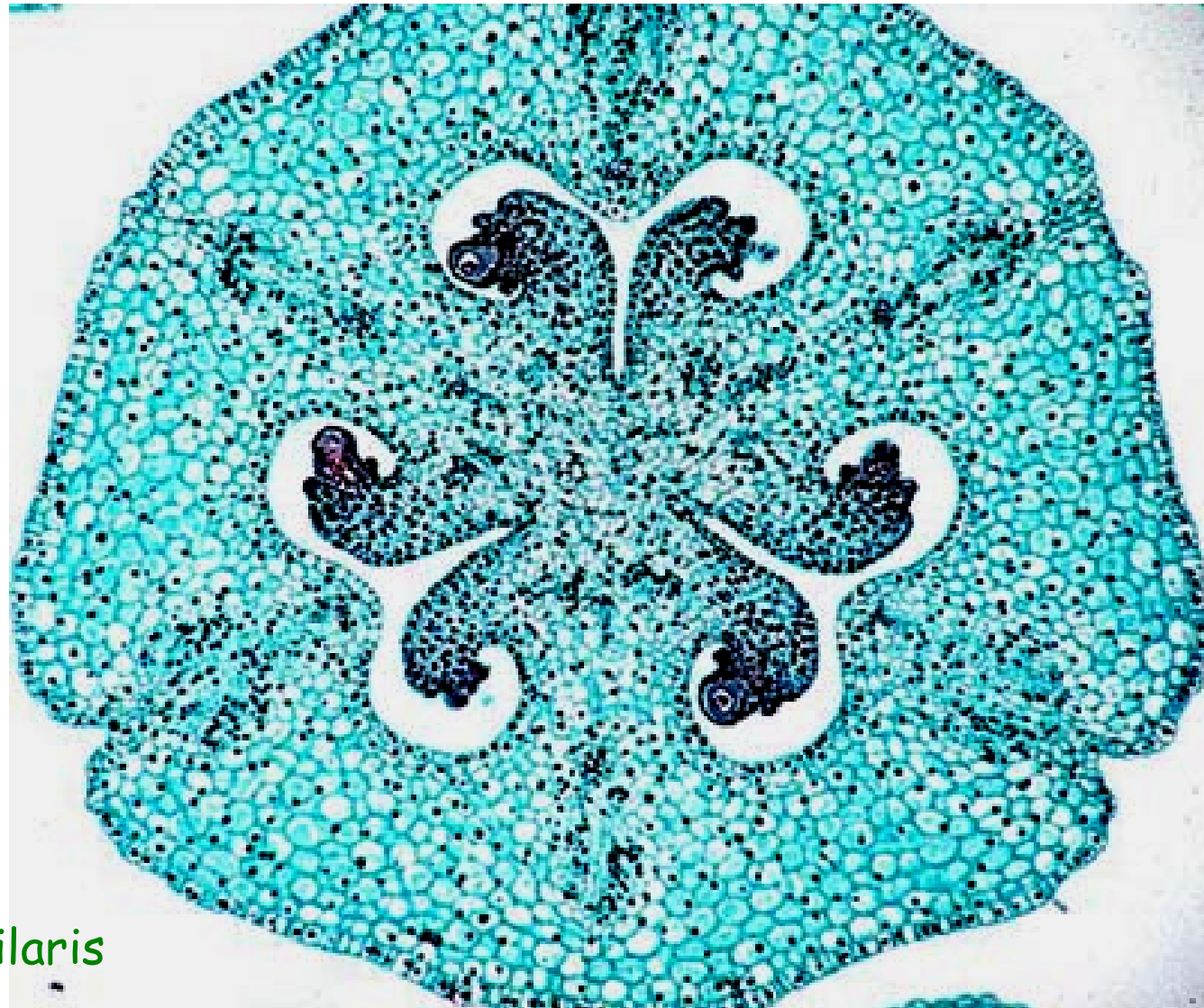
povrchově středová
pl. parietalis marginalis

povrchově boková nástěnná
pl. parietalis laminaris

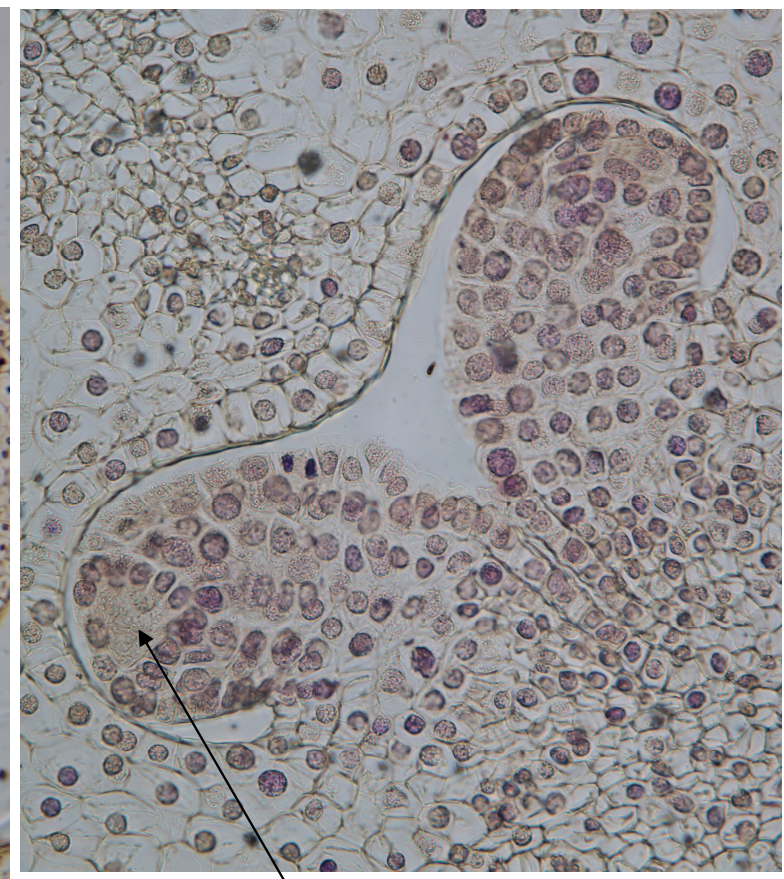
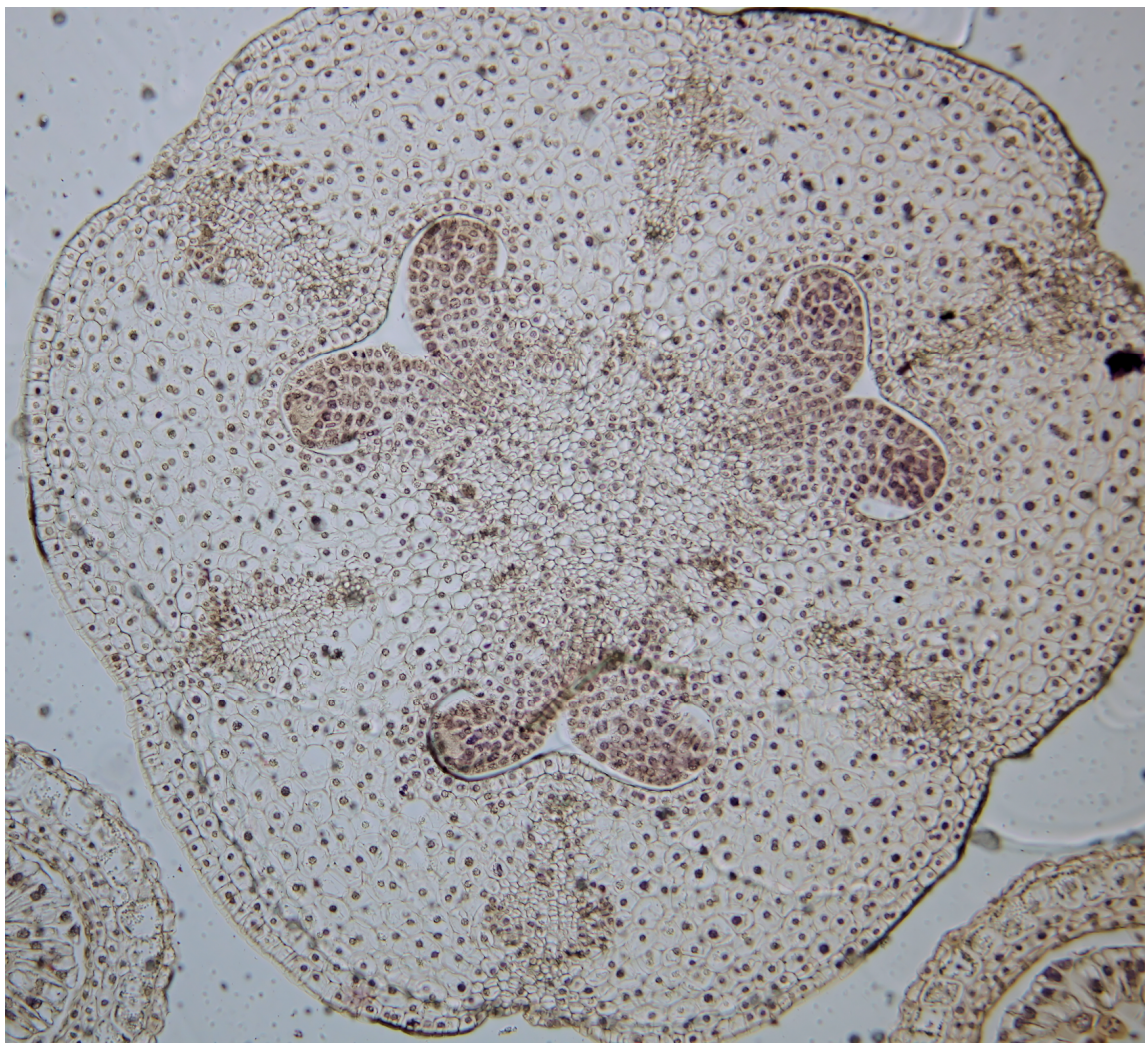
Příčný řez semeníkem lilie

3 plodolisty

placentace
komisurální úhlová
pl. commisuralis axilaris



Příčný řez semeníkem lilie



detail makrosporocytu



Eduard Strassburger

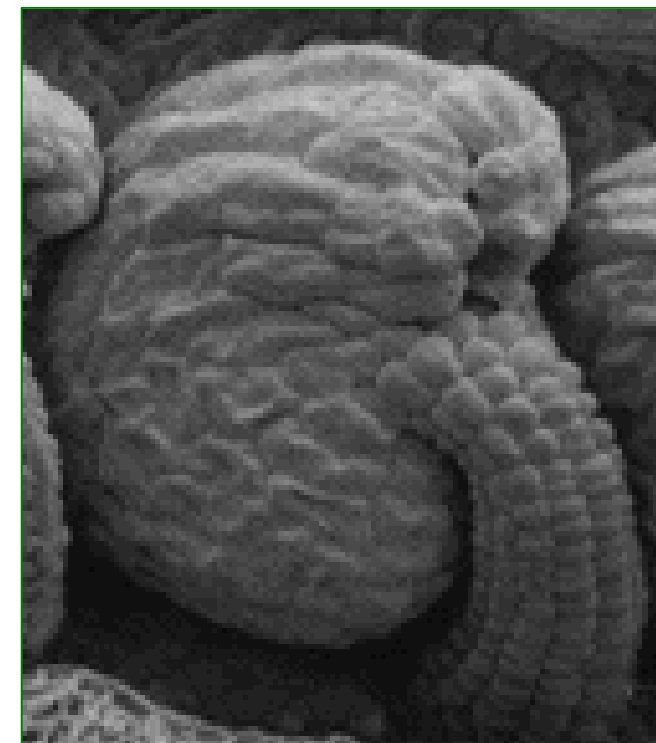
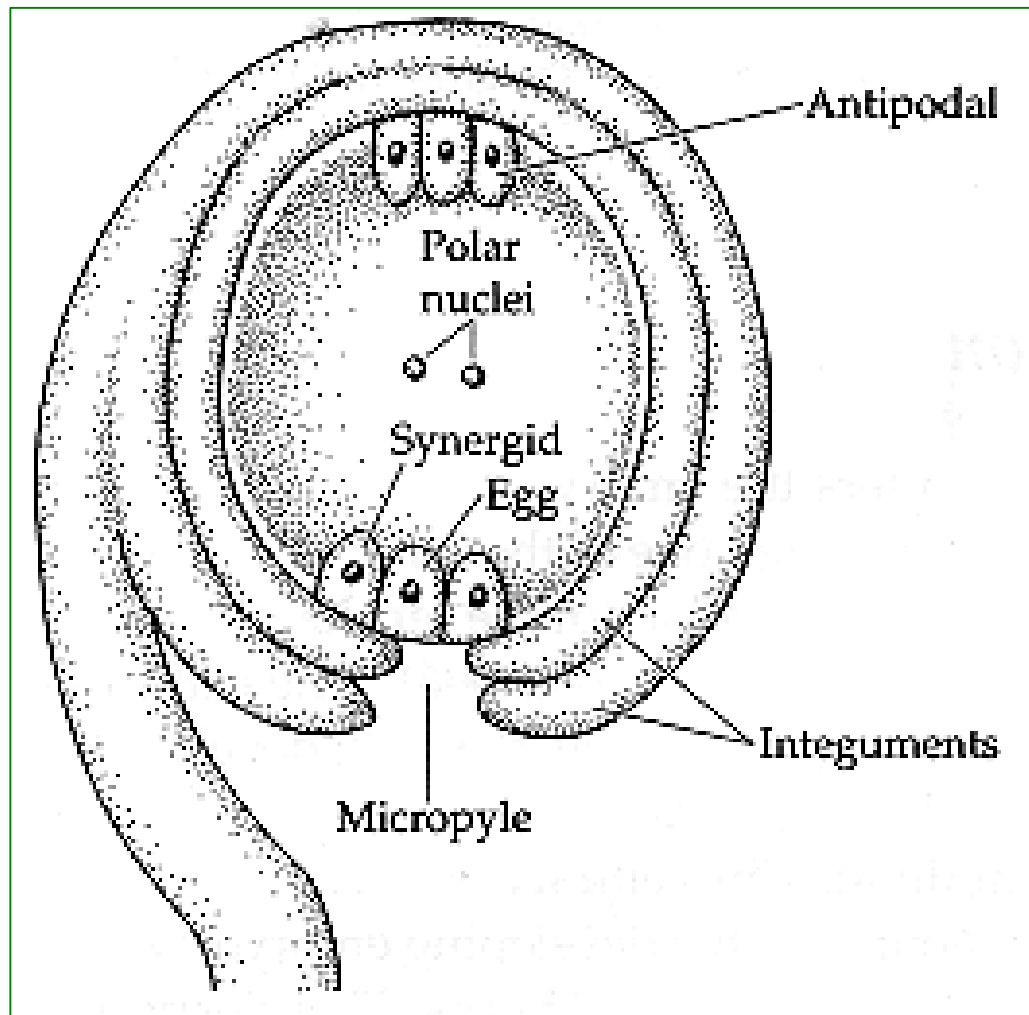
(1844 - 1912)

prof. botaniky
Univerzita v Jeně

1877 podal popis procesu dělení a diferenciace buněk
uvnitř **zárodečného vaku**
Über Befruchtung und Zelltheilung, Jena 1877

jeho terminologie se užívá pro tyto buňky dodnes

Anatropní vajíčko - schéma



Pierre Jean Francois Turpin

1755 - 1840

- 1806 - francouzský botanik popsal a definoval jako první pojmy:
 - mikropyle
 - hilum
- Význam těchto struktur, pozorovaných na vajíčku a na semeně rostlin, chápe jako otvory v obalu, kterým se k vajíčku dostává oplodňující tekutina a jež umožňuje přístup živin k vyvíjejícímu se semeně.

(Mémoire sur l'organe par lequel le fluide fécondant peut s'introduire dans l'ovule des végétaux. Ann. Hist. Nat. Paris, 7, 1806)

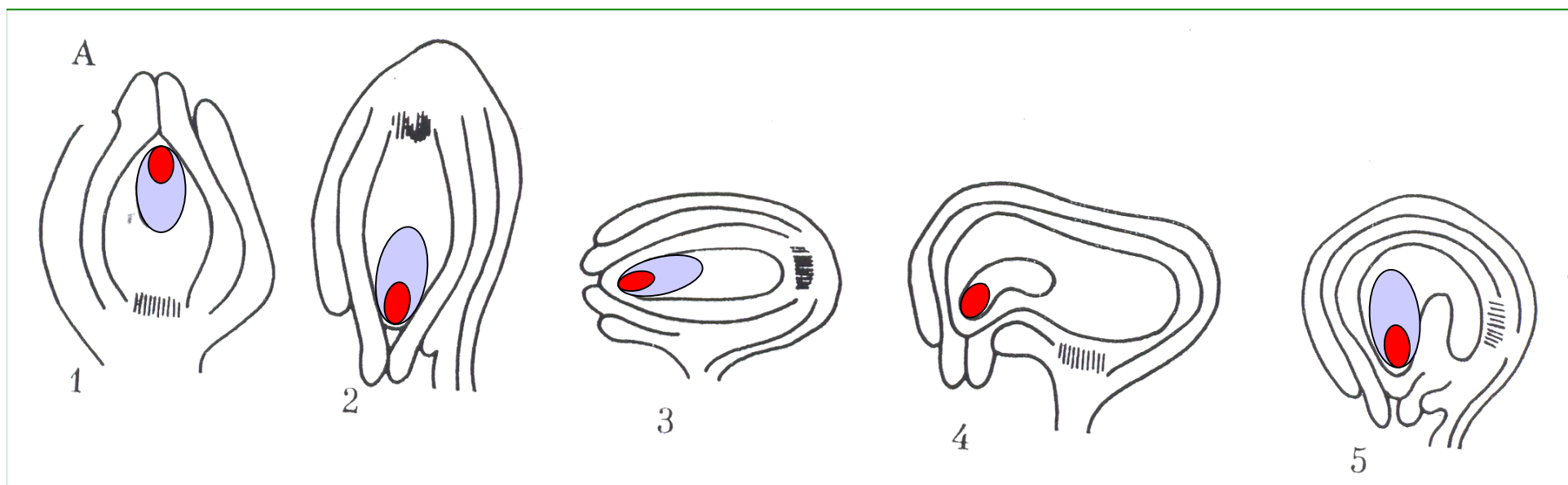
Základní typy vajíček

Goebel 1933

přímé

obrácené

příčné



ortotropní
(atropní)

anatropní

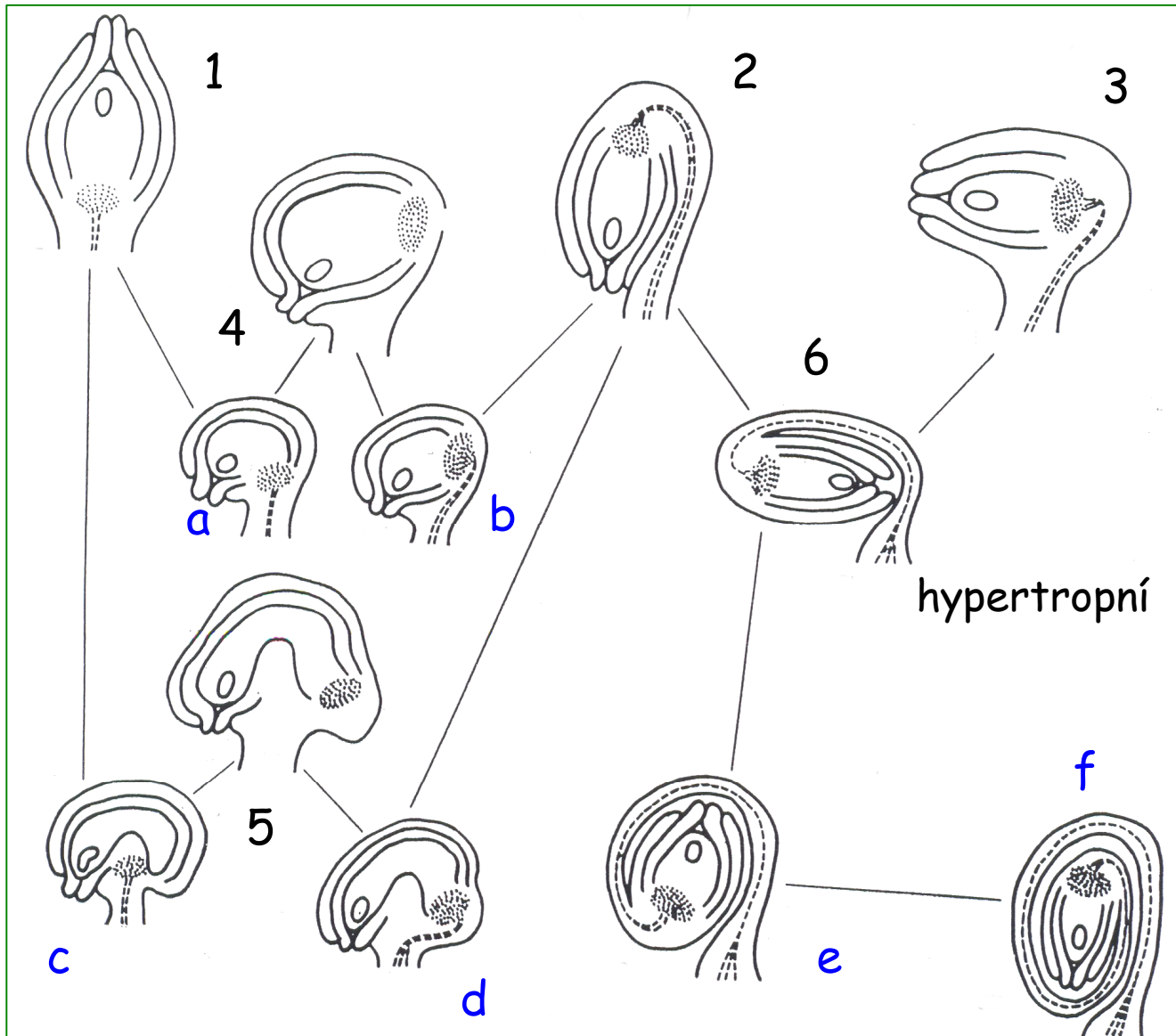
hemitropní

kampylotropní

amfitropní

Vztahy mezi typy vajíček

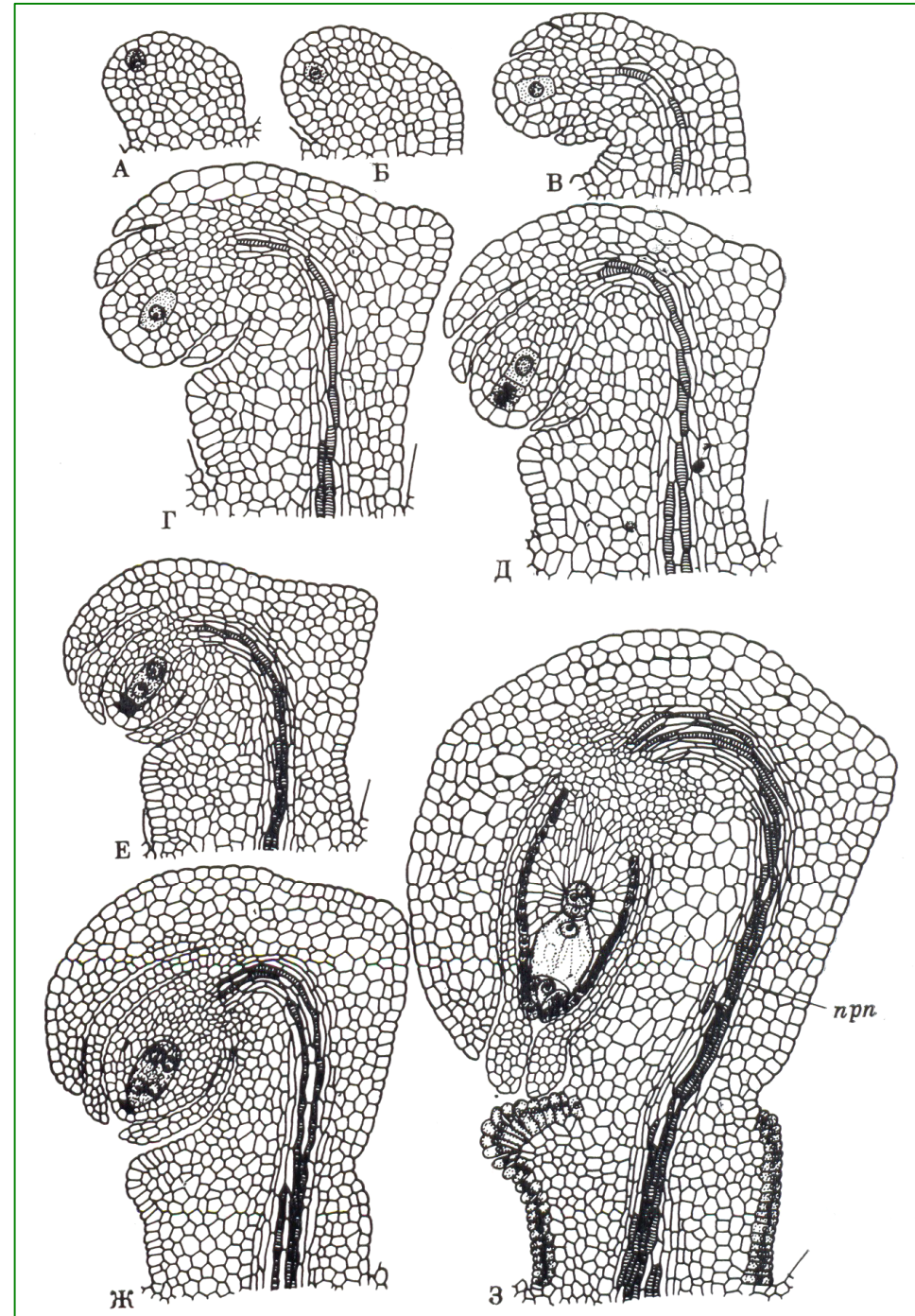
Savčenko 1973



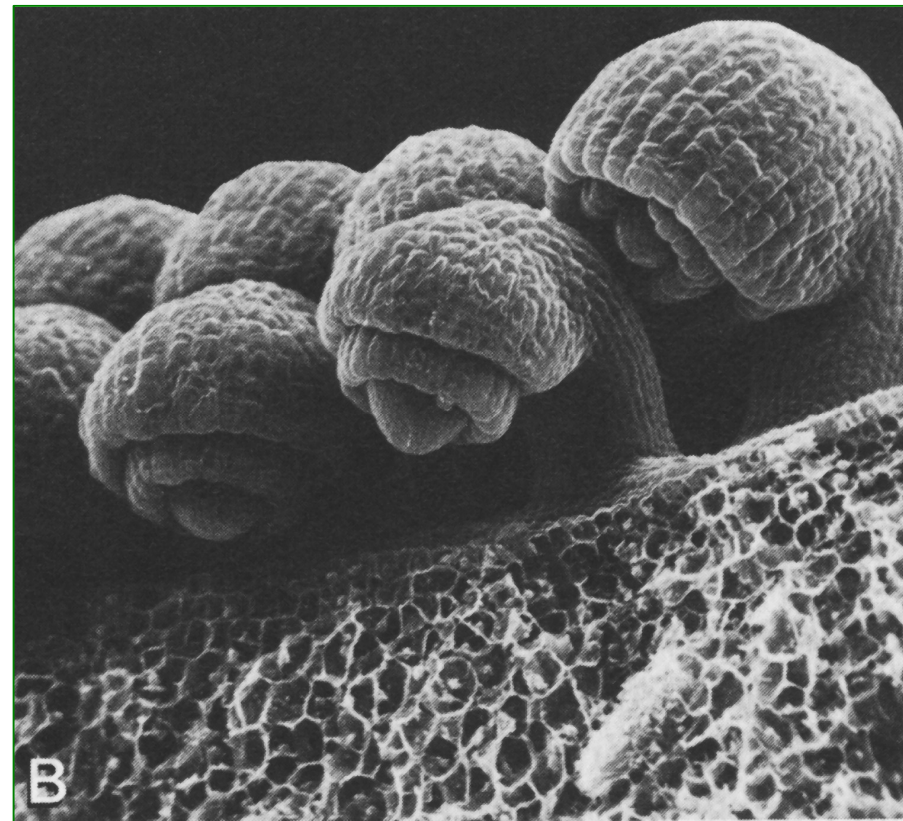
- a orto-kampylotropní
- b ana-kampylotropní
- c orto-amfitropní
- d ana-amfitropní
- e orto-circinotropní
- f ana-circinotropní

Vývoj vajíčka *Beschchorneria*

Savčenko et Komar 1965



Vajíčka - tvorba integumentů



Johri 1984

Megasporogeneze = tvorba makrospor
(v nucelu)

samičí archespor

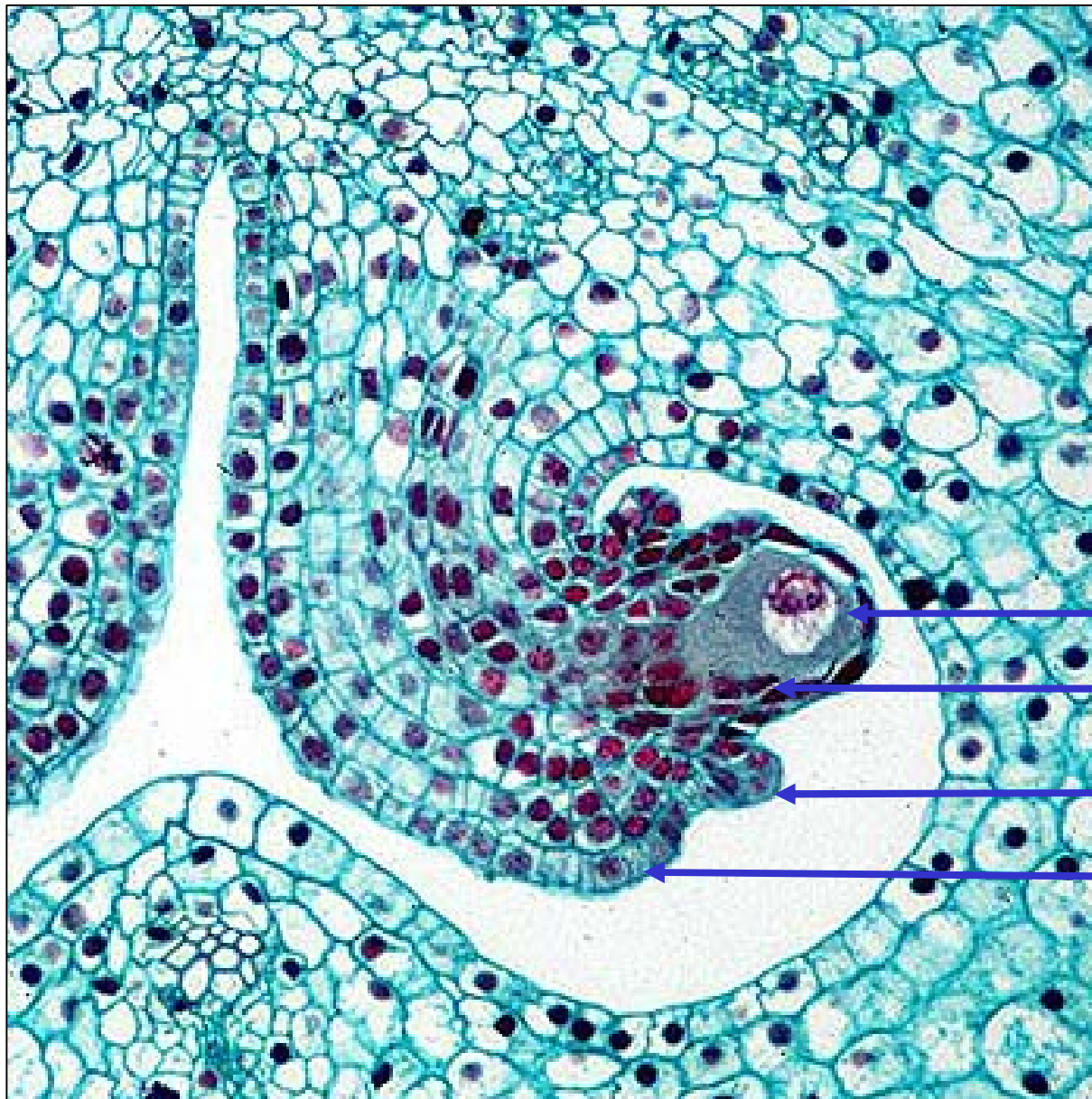


megasporocyt
(mateřská buňka makrospor)

meióza

tetráda haploidních megaspor

Megasporocyt = mateřská buňka megaspor



lilie

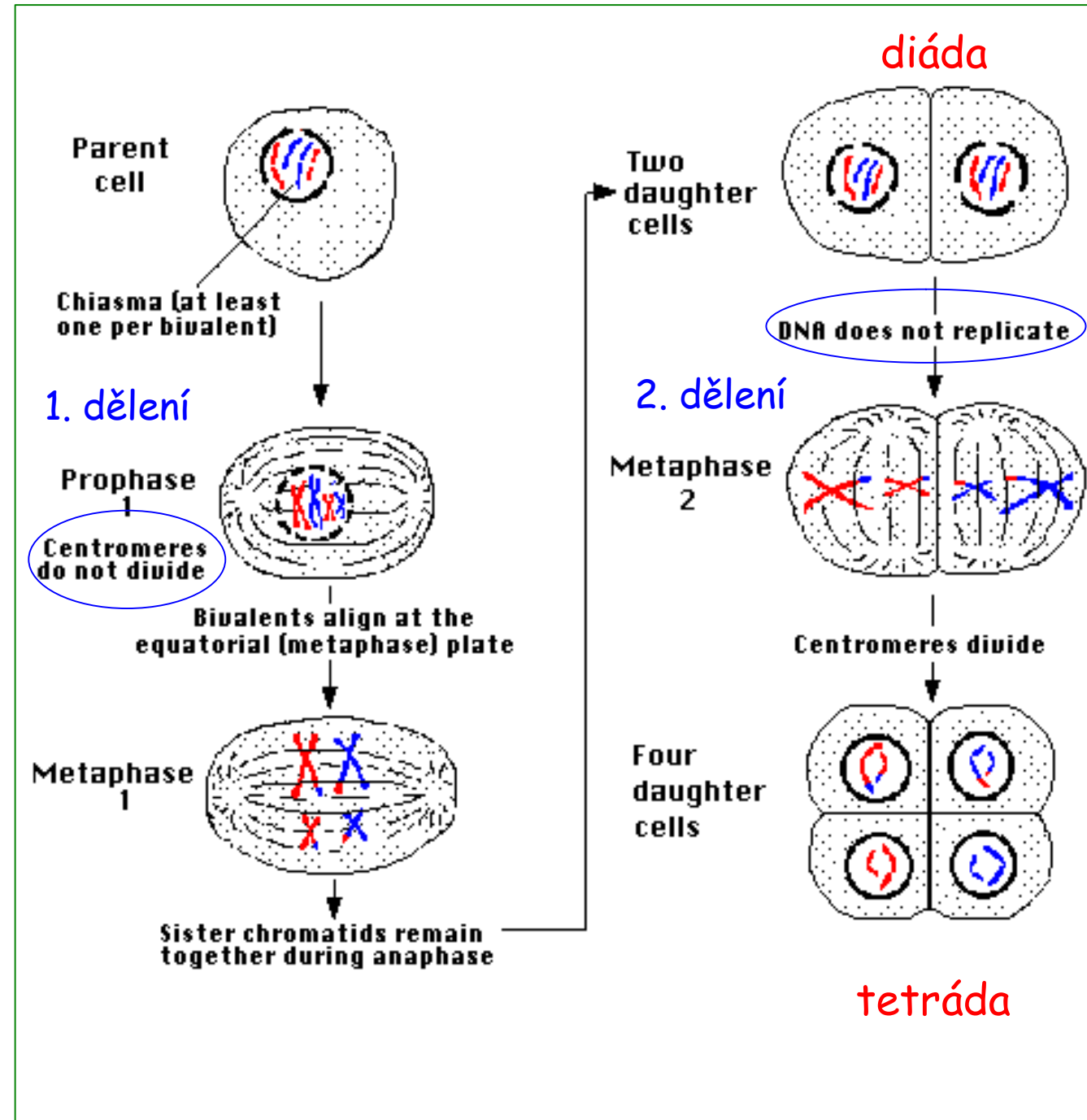
megasporocyt

nucelus

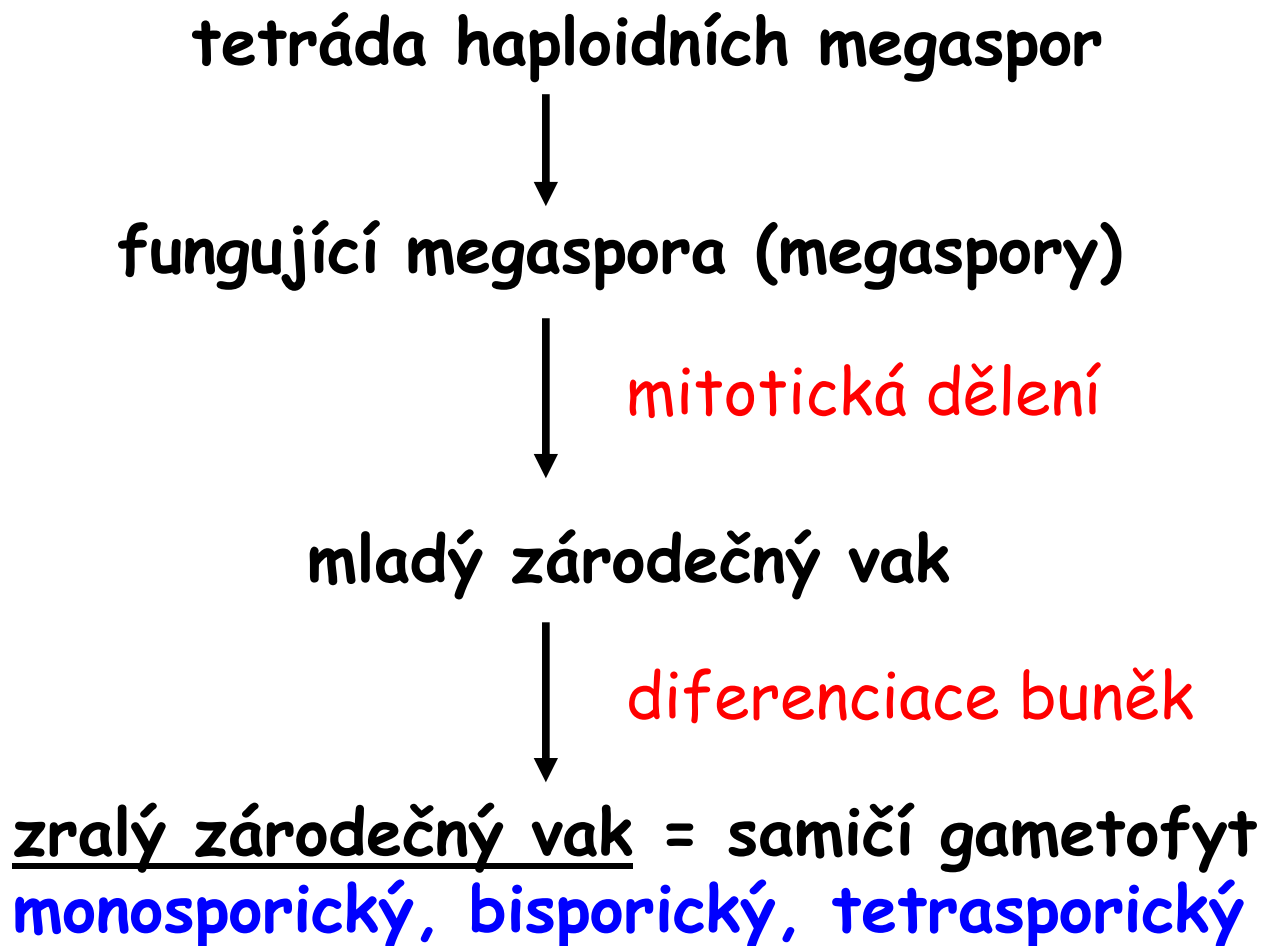
vnitřní integument

vnější integument

Meióza



Megagametogeneze = tvorba zárodečného vaku



Přehled typů zárodečných vaků

Erdelská 1981 (podle Maheshwari 1951)

monosporické

Polygonum
Oenothera

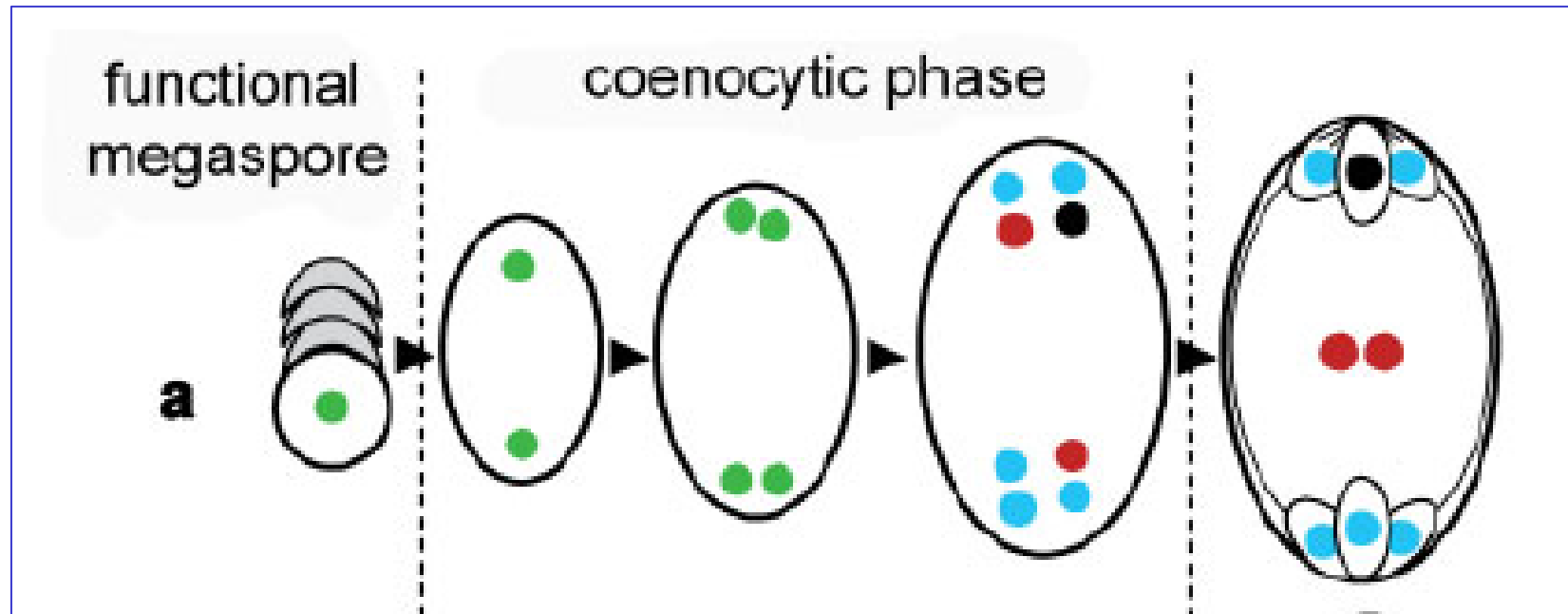
bisporické

Allium
Podostemon

tetrasporické

Adoxa
Fritillaria
Plumbagella
Drusa
Peperomia
Penea
Plumbago

Zárodečný vak typu *Polygonum*

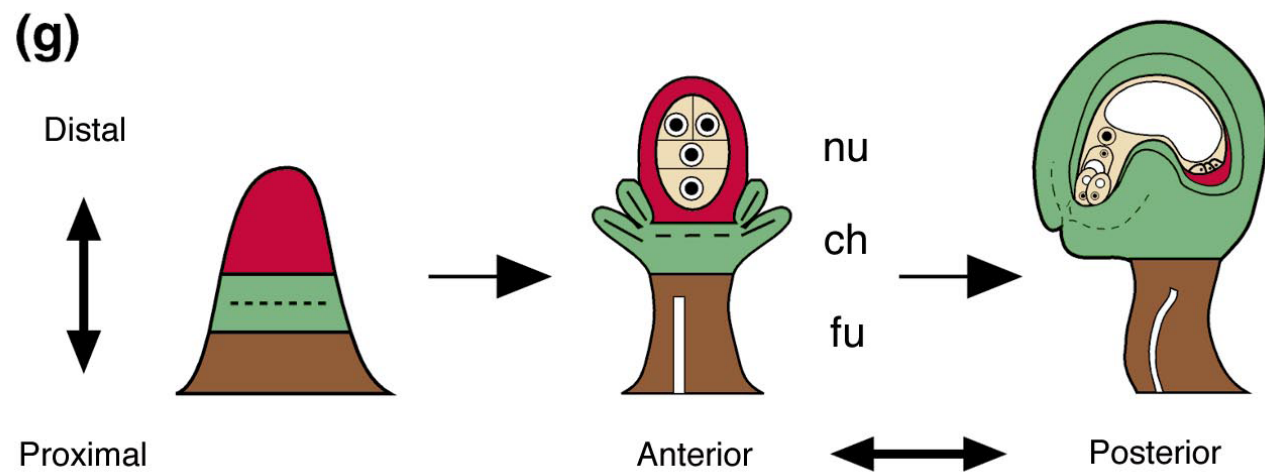
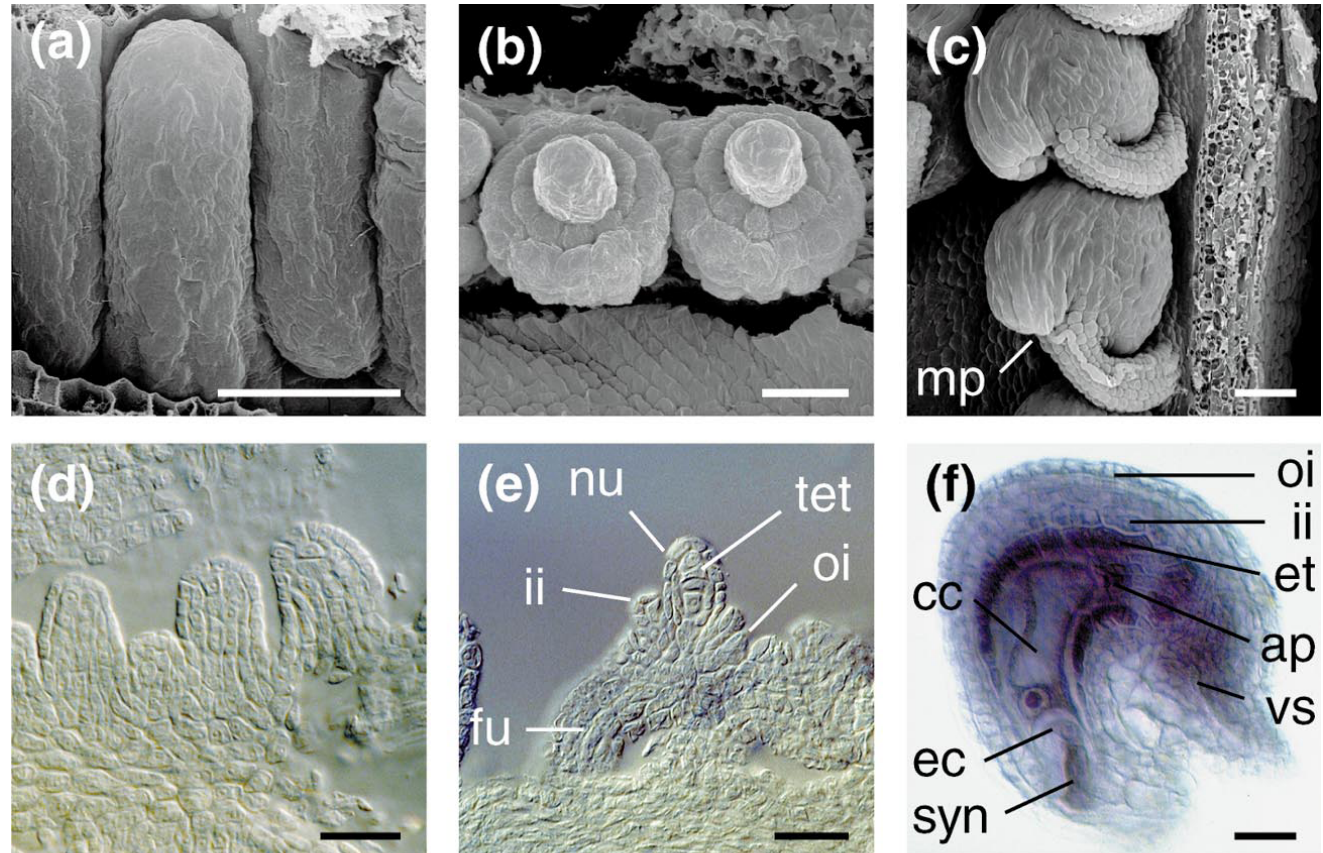


Vývoj vajíčka *Arabidopsis*

a, d = primordia vajíček
před diferenciací
megasporocytu

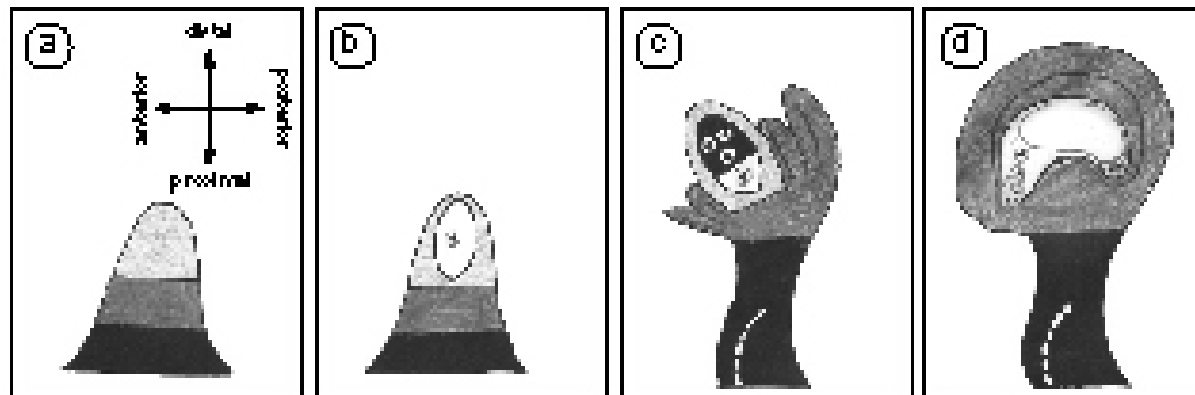
b, e = stadium tetrády
a základů integumentů

c - vajíčko s pylovou
láčkou na funikulu

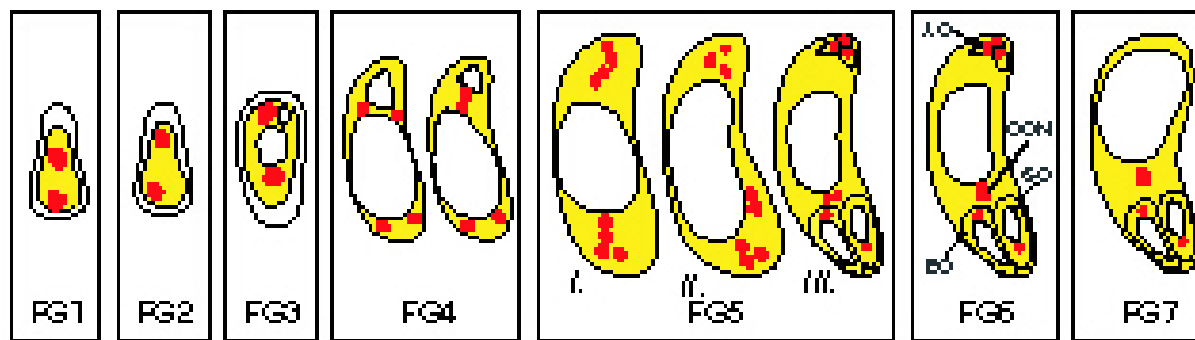


Schneitz *et al.*
TIPS 1998

Vývoj zárodečného vaku u *Arabidopsis*



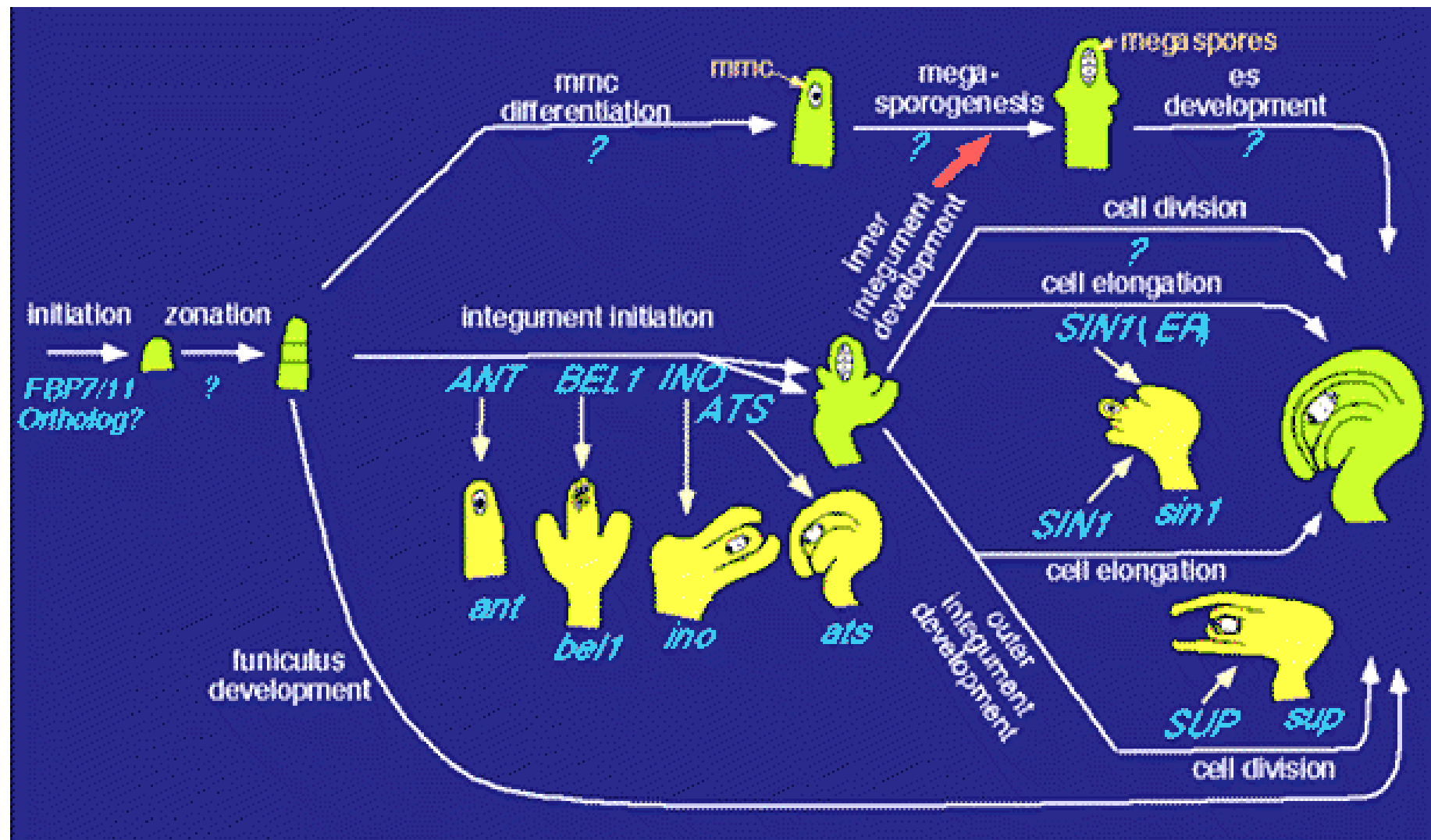
Grossniklaus a Schneitz 1998



Hejátko et al. 2003

vývojová stádia

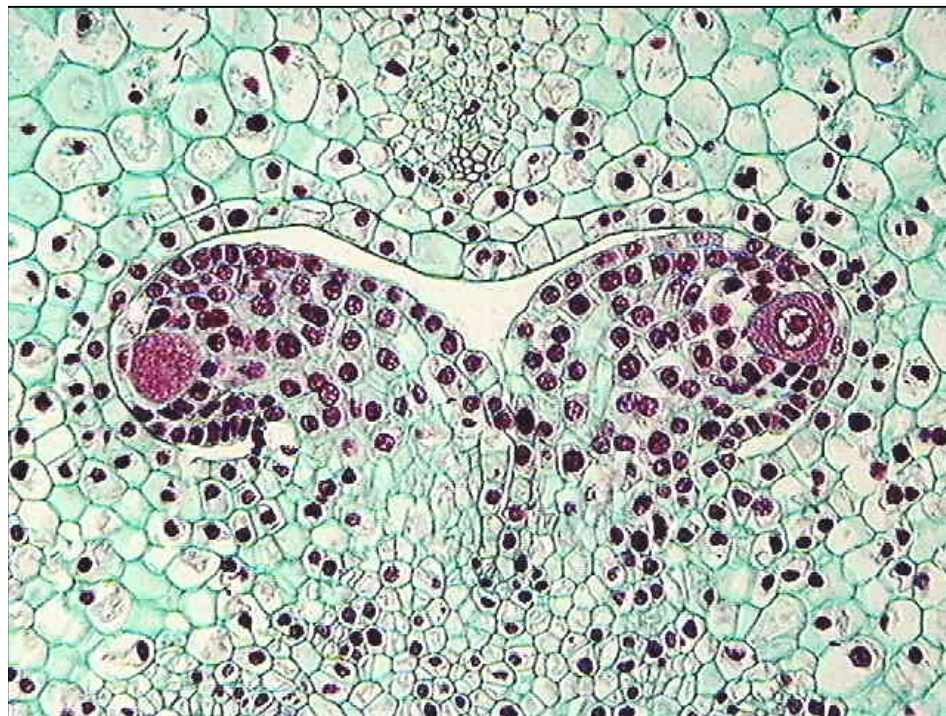
Regulace vývoje vajíčka *Arabidopsis*



Megasporogeneze ve vajíčku lilie tetrasporický zárodečný vak

<http://images.iasprr.org/lily/female.shtml>

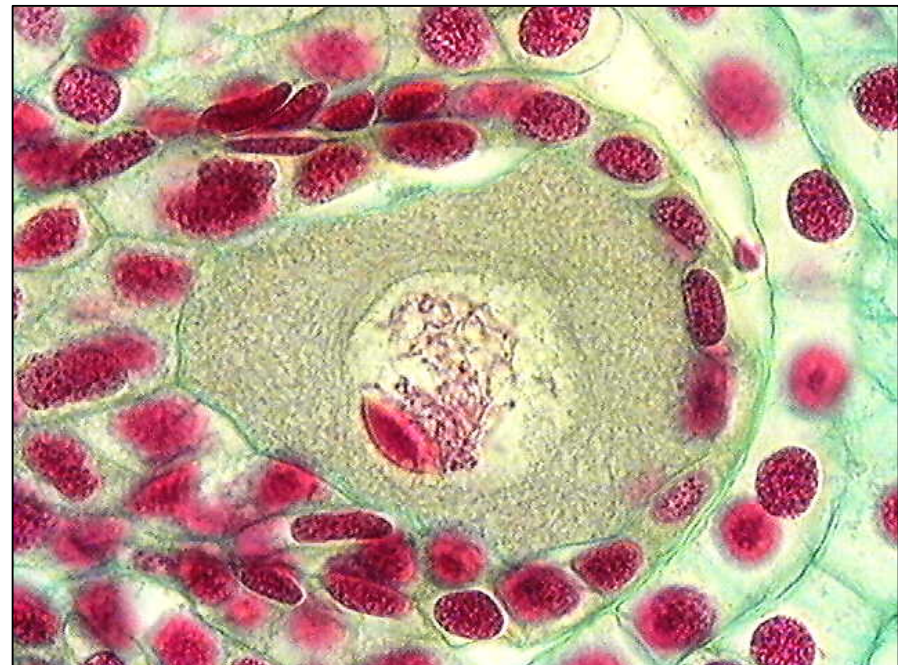
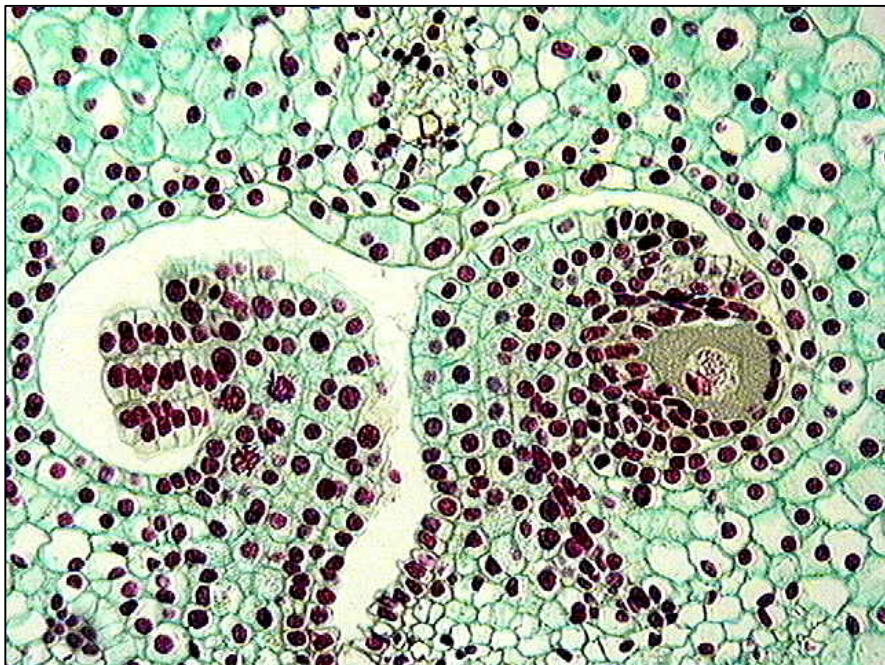
Raná profáze I v megasporocytu



Paralelní proužky v cytoplasmě jsou vrstvy endoplazmického retikula.
Jadérko v jádře megasporocytu je výrazné a centrálně lokalizované.

IASPRR

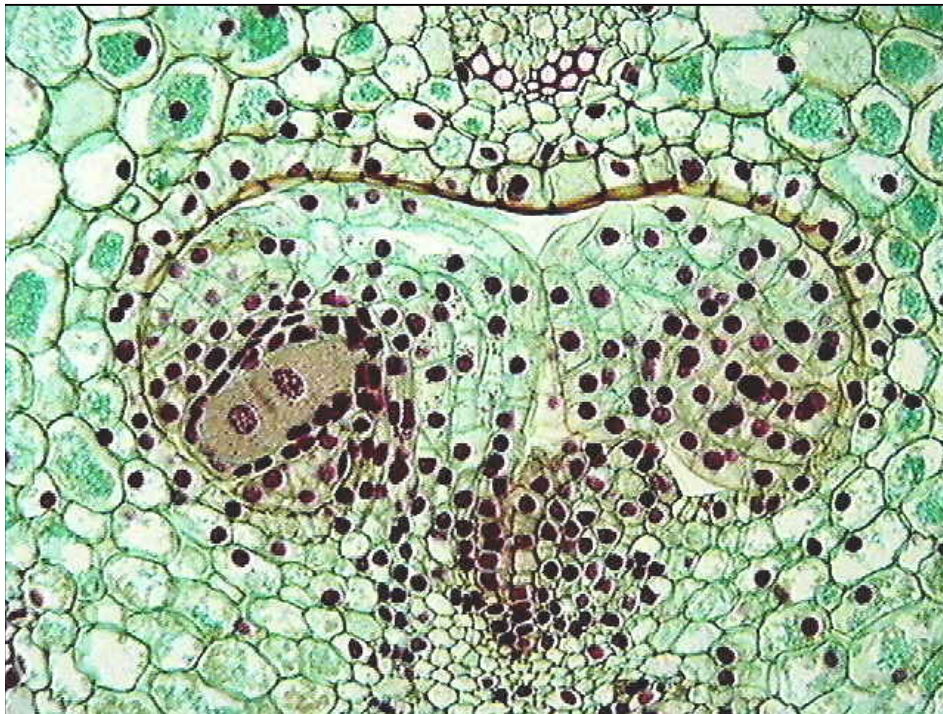
Střední profáze I v megasporocytu



Jadérko těsně přiložené ke karyotéce megasporocytu tvoří jadérkovou čepičku. Chromozomy jsou spárované (pachytene) během „crossing-over“.

IASPRR

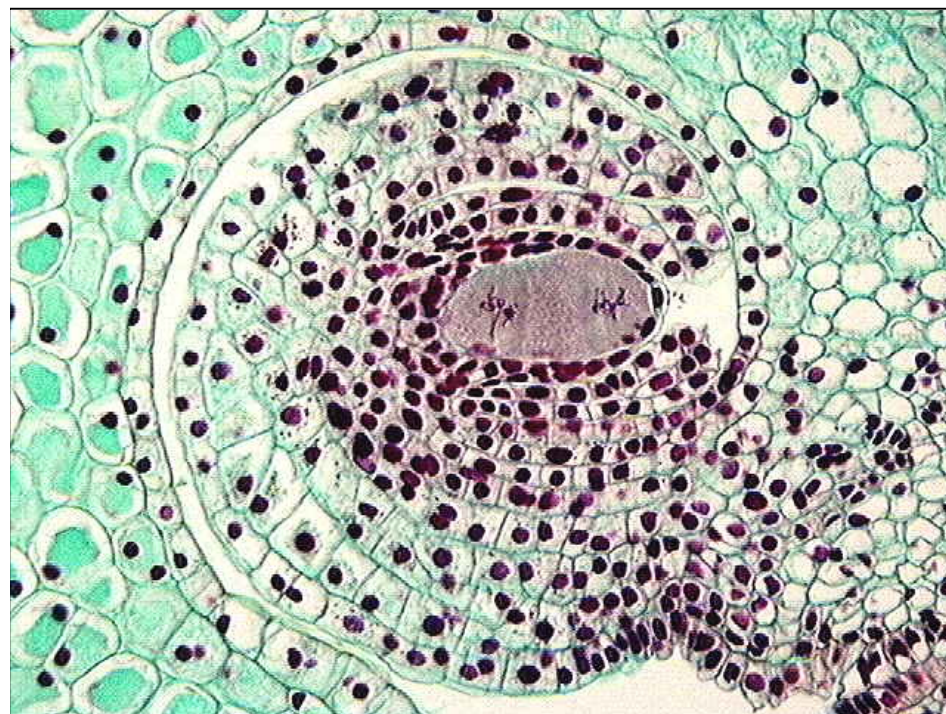
Telofáze I megasporocytu



Fragmoplast lokalizovaný mezi jádry zmizí bez tvorby buněčné stěny.

I ASPR

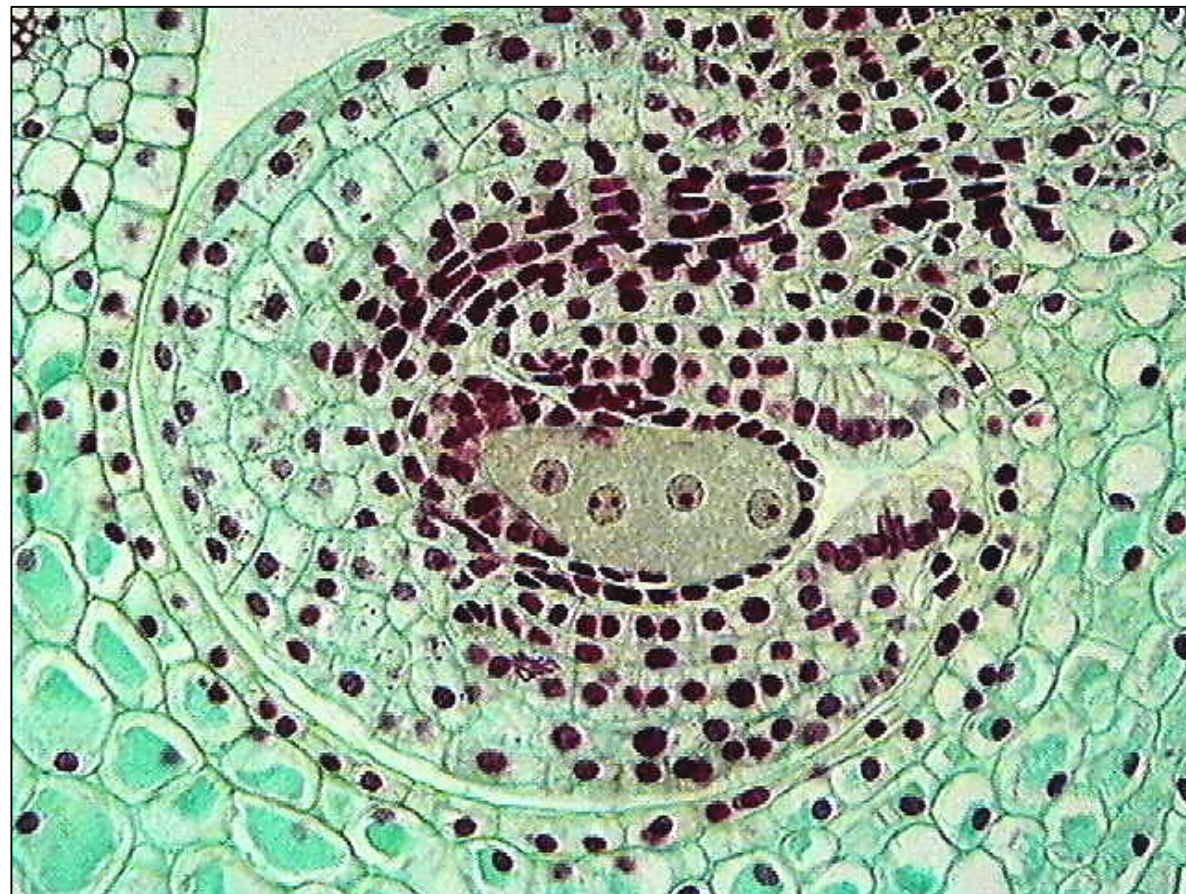
Dělení jader diád: metafáze II.



Tvorba dvou příčných vřetének během 2. meiotického dělení.

IASPRR

Lineární tetráda megaspor



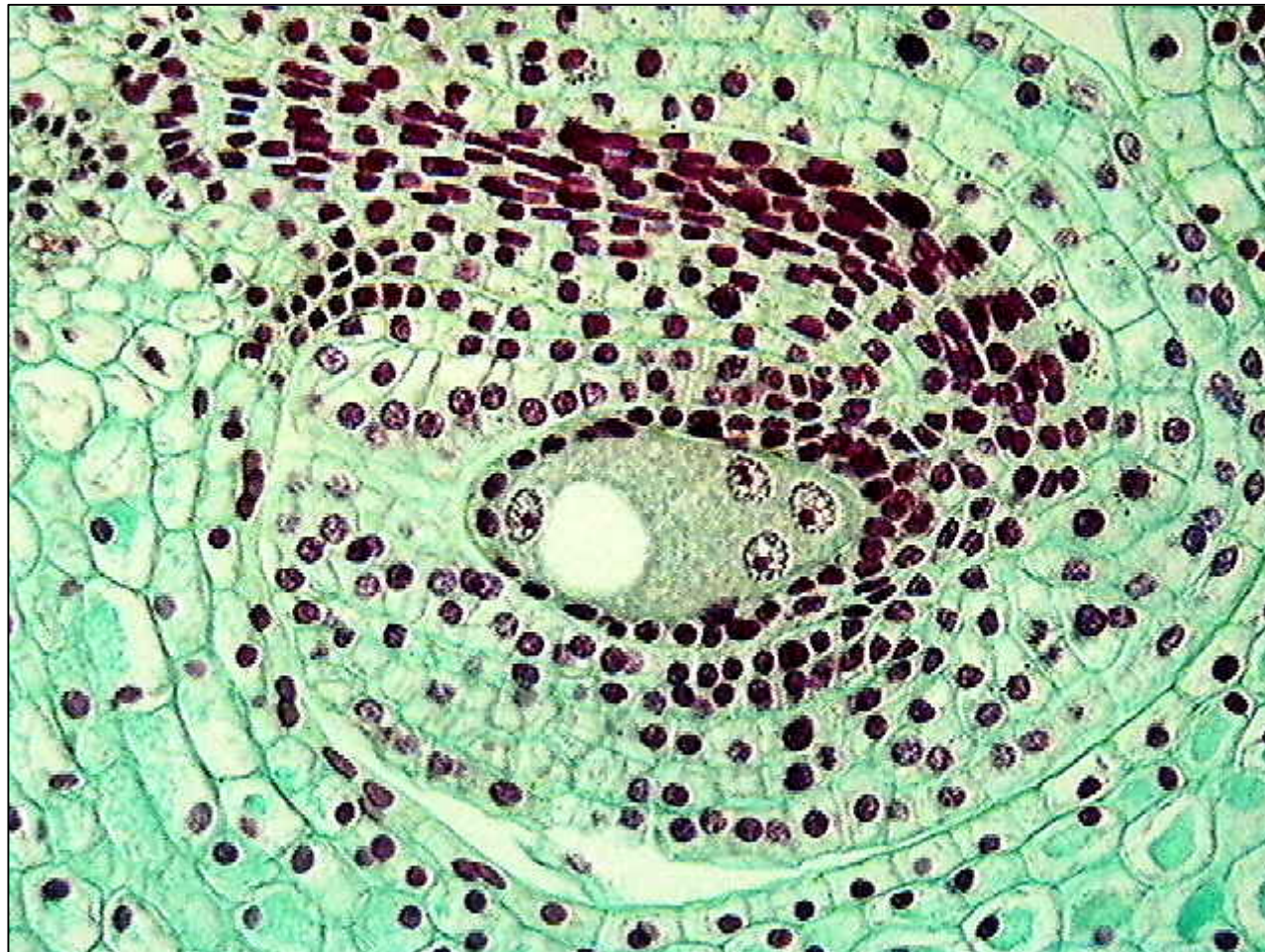
IASPRR

4 stejná jádra megaspor v zárodečném vaku lilie se podílejí na formování
zárodečného vaku = **tetrasporický zárodečný vak**

Megagametogeneze u lilie

<http://www.iasprr.org/old/iasprr-pix/lily/female.shtml#ms>

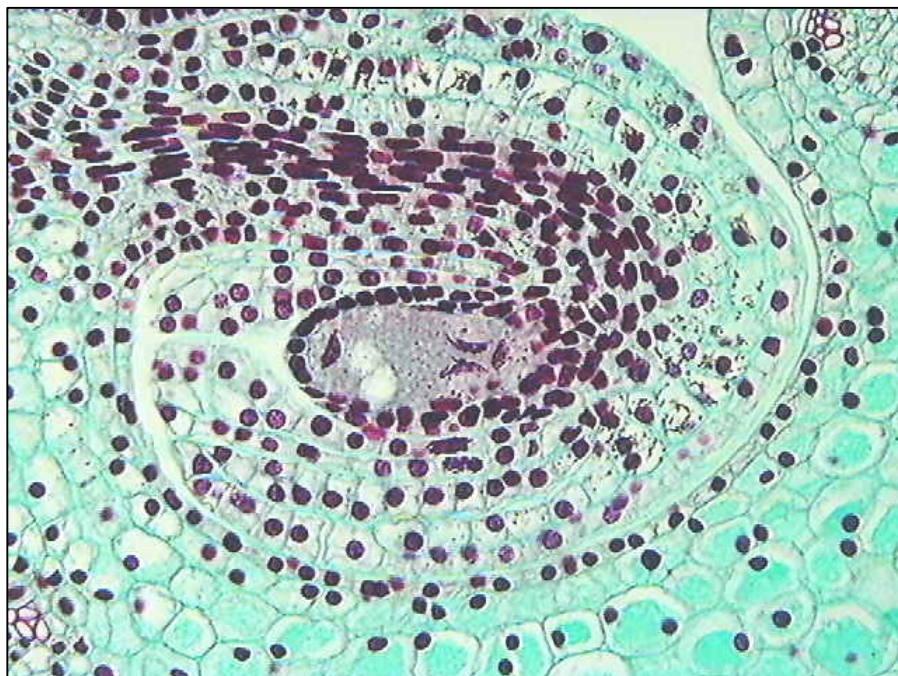
Migrace jader megaspor



IASPRR

3 jádra megaspor migrují k chalazálnímu konci z.v., jedno jádro zůstává u mikropylárního pólu, centrální vakuola se zvětšuje

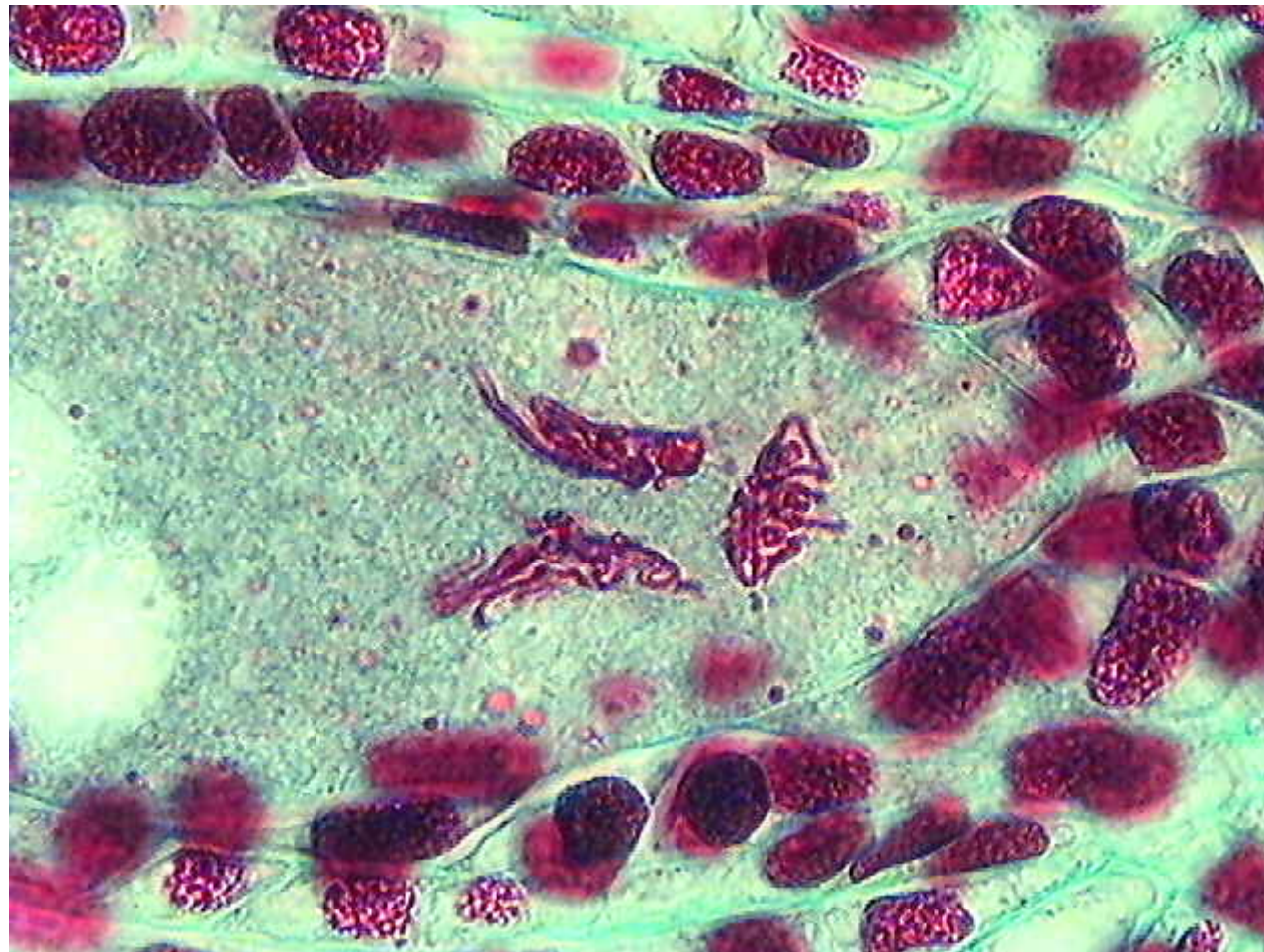
Příprava na 1. mitotické dělení



IASPRR

Mikropylární a chalazální chromozomy kondenzují před *mitotickým* dělením.
Na mikropylárním pólu zárodečného vaku budou dvě 1N jádra.

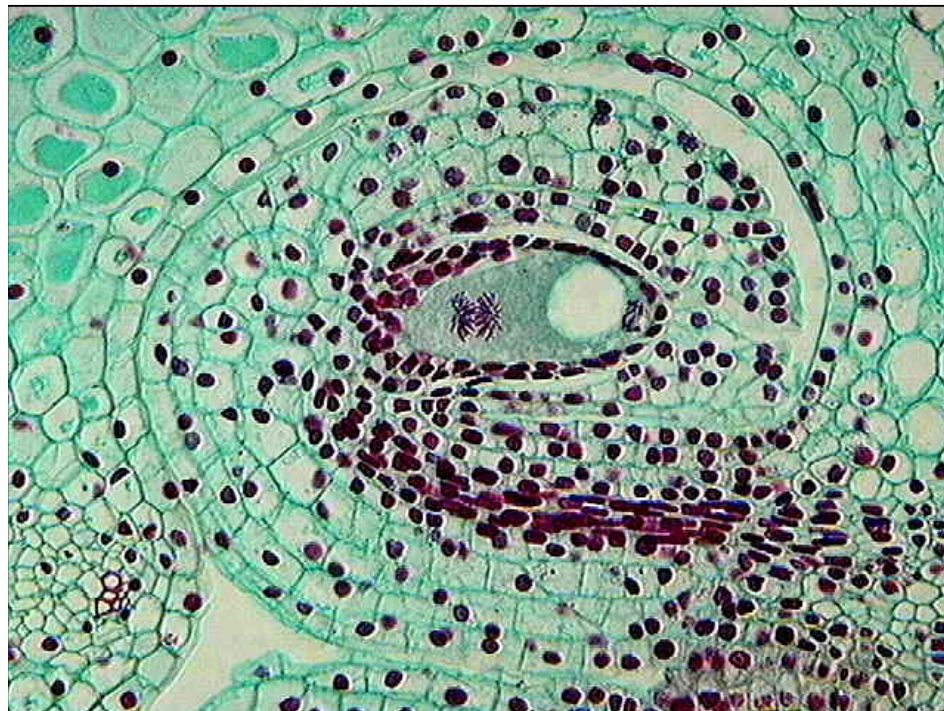
Příprava na 1. mitotické dělení



IASPRR

Chromozómy na chalazálním pólu se spojí do jednoho společného vřeténka a dají vznik dvěma 3N jádrům na konci mitózy.

Anafáze 1. mitózy

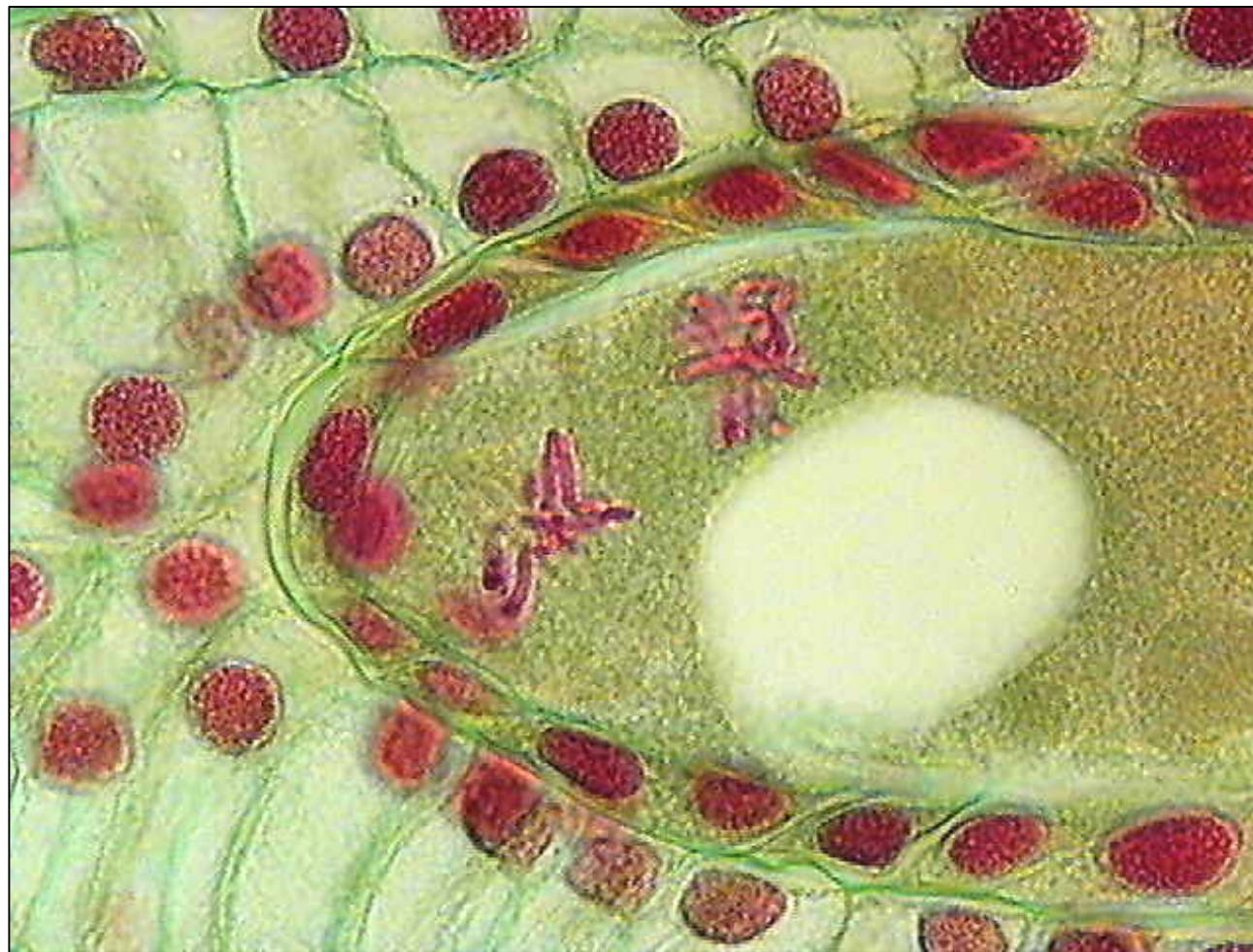


IASPRR

Při mitóze se tvoří tradiční dělící vřeténka.

Poměr chromosomů v chalazálním a mikropylárním pólu je 3:1

Metafáze druhé mitózy



IASPRR

Mikropylární pól: vřeténka jsou orientována kolmo na sebe: mikropylární vřeténko bude tvořit jádra 2 synergid, horní = blíže k chaláze dá vznik jádru vaječné buňky a polárnímu jádru

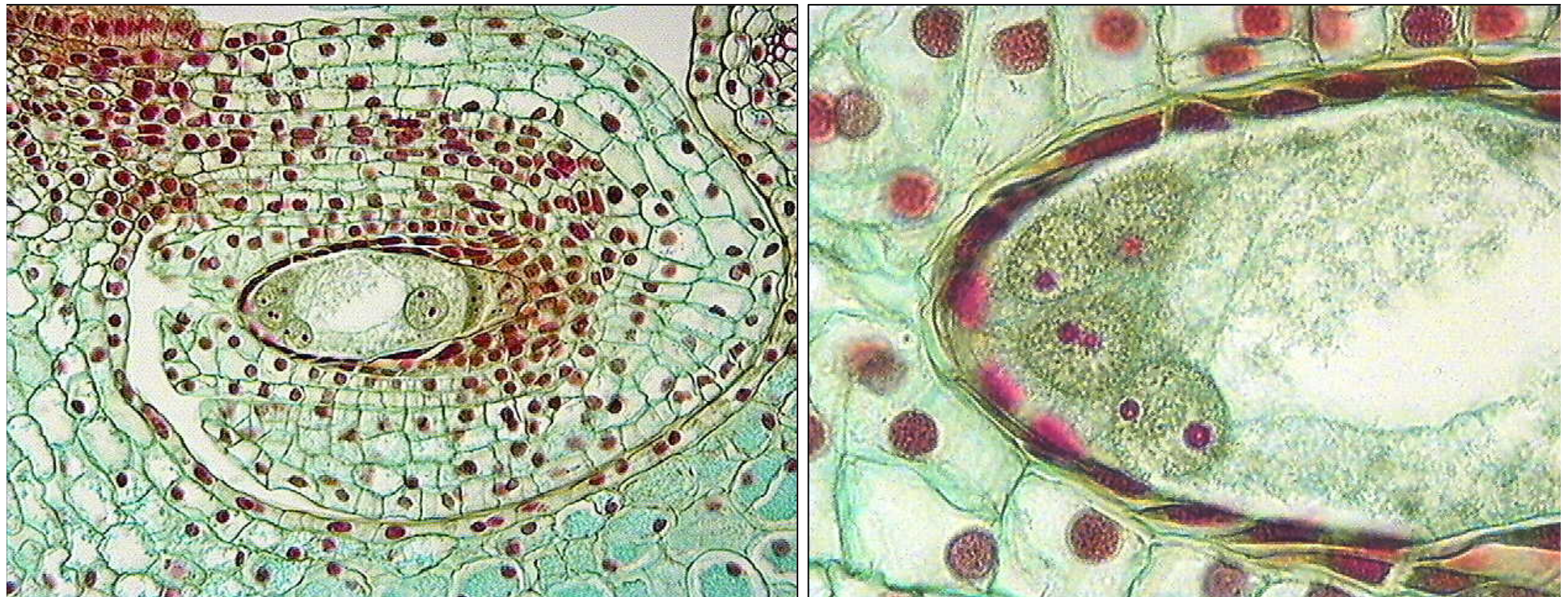
Metafáze druhé mitózy



IASPRR

Mitózy na **chalazálním pól**u: dělící vřeténka jsou orientována kolmo na sebe. Chalazální vřeténko je slabě formováno, centrálnější dá vznik polárnímu jádru a jedné antipodě.

Dozrávání megagametofytu



IASPRR

4 mikropylární jádra jsou haploidní ($1N$), vytvoří vaječnou buňku, dvě synergidy a jedno polární jádro.

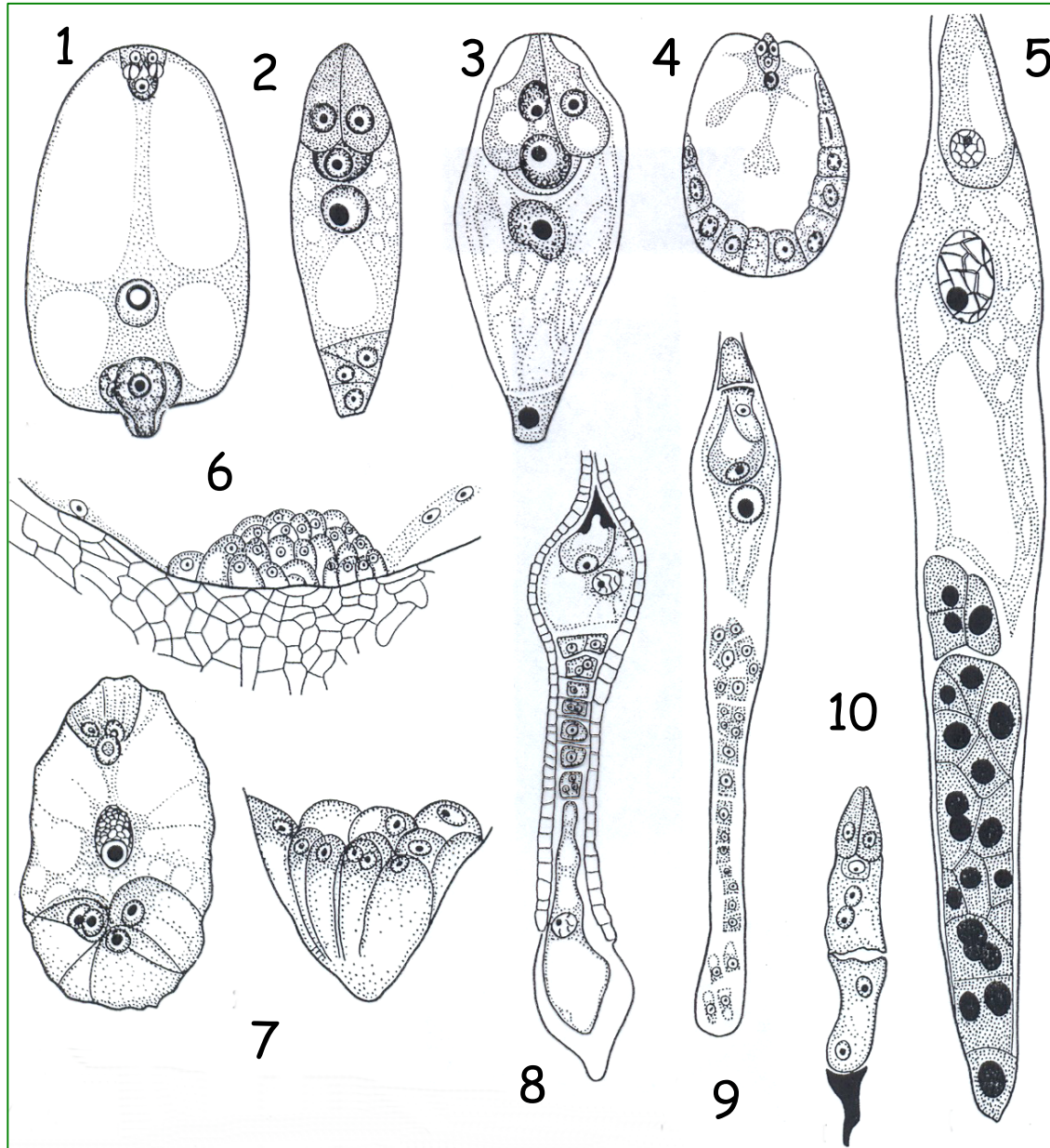
Dozrávání megagametofytu



IASPRR

Velké chalazální jádro je 3N polární jádro. Přilehlá buňka vpravo je 3N antipoda (a), vedle ní vpravo je další antipoda. Tato dvě chalazální jádra mitózu nedokončí a vznikne jenom jedna buňka (6N).

Variabilita utváření antipod



- 1 *Delphinium*
- 2 *Sedum*
- 3 *Butomopsis*
- 4 *Gentiana*
- 5 *Ligularia*
- 6 *Spargania*
- 7 *Trautweteria*
- 8 *Chrysocoma*
- 9 *Anthemis*
- 10 *Bidens*